

مدلسازی رابطه بارش با ارتفاع در منطقه زاگرس

فیروز مجرد^{*}، حاجیمراد مرادی فر^{*}

۱- استادیار گروه جغرافیای دانشگاه رازی کرمانشاه

۲- دانشآموخته کارشناسی ارشد جغرافیا، دانشگاه رازی کرمانشاه

چکیده

برای برآورد بارش در منطقه زاگرس شمال غربی و مرکزی، از مدل‌های رگرسیون خطی، لگاریتمی، توانی و نمایی دو متغیره و چندمتغیره استفاده شد. نتایج مطالعه نشان داده که مدل‌های دو متغیره به دلیل معنادار نبودن یا پایین بودن ضرایب همبستگی و ضعف در پوشش دادن کل منطقه، برای برآورد بارش مناسب نیستند. از بین مدل‌های چند متغیره، مدل چند متغیره خطی، در حالتی که منطقه به نواحی رو به باد و پشت به باد تقسیم می‌شود، برای برآورد بارش مناسب تشخیص داده شد. آزمون T، نیز اختلاف معناداری را بین ارقام مشاهده شده و برآورد شده بارش نشان نداد و در نتیجه بر مبنای ارقام برآورد شده از نقشه‌های سالیانه و فصلی برآورد بارش، ارتفاع و حجم بارش سالیانه و فصلی ارائه شد. به نظر می‌رسد در ناحیه رو به باد، با افزایش ارتفاع، میزان بارش کاهش می‌یابد و همچنین افزایش طول و عرض جغرافیایی، در غالب دوره‌های زمانی باعث کاهش بارش می‌شود.

۱۶۳

کلید واژه‌ها: مدل‌سازی، بارش، ارتفاع، رگرسیون، زاگرس

۱- مقدمه

برآورد مقدار بارش، در کشورهای در حال توسعه، به دلیل کاربردهای فراوانی که در برنامه‌ریزیهای کشاورزی، صنعت و خدمات دارد بسیار حائز اهمیت است. این مسئله در کشور ما که فاقد شبکه منظم و متراکم ثبت بارش بخصوص در مناطق مرتفع است نیز اهمیت بیشتری پیدا می‌کند.

منطقه زاگرس یکی از مناطق پریاران کشورمان است که علی‌رغم اینکه قسمتهایی از این منطقه از نظر ارتفاع بارش، بعد از کرانه‌های غربی دریای خزر و در ریف کرانه‌های شرقی آن قرار می‌گیرد [۱، ص ۱۲۲]. از مقدار بارش در مناطق مختلف آن، بخصوص مناطق مرتفع اطلاع دقیقی در دست نیست. این تحقیق سعی دارد تا با استفاده از مدل‌های رگرسیونی، ارتفاع و حجم بارش را در مناطق شمال‌غربی و مرکزی زاگرس برای کاربرد در برنامه‌ریزیهای



مختلف ارائه نماید.

تغییر بارش با توجه به ارتفاع، تابع عوامل متعدد محلی و بیرونی است که برایند آنها در هر محل به نتایج متفاوتی ختم می‌شود. جعفرپور معتقد است که با افزایش ارتفاع، به دلیل کاهش دما و رسیدن آن به نقطه شبنم، میزان بارش افزایش می‌یابد [۲، ص ۱۸۶]. اثر ارتفاع بر بارش در همه جا یکسان نیست. در برخی موارد بارش تنها تا ارتفاع معینی - که «مرز فوچانی حداکثر بارش» نامیده می‌شود - افزایش می‌یابد و پس از آن با افزایش ارتفاع، مقدار بارش رو به کاهش می‌رود. مهدوی، ارتفاع اپتیمم - ارتفاعی که پس از آن بارش رو به کاهش می‌رود - در کوههای آلب فرانسه ۲۵۰۰ متر و در منطقه کرمان را به وسیله مهندسان مشاور ستیران در حدود ۳۵۰۰ متر ذکر کرده است [۳، ص ۲۱۹].

علیجانی و کاویانی بیان می‌کنند که حداکثر بارش در منطقه حاره تا ارتفاع حدود ۲۰۰۰ متری است و مقدار بارش در قله بسیار کمتر است؛ اما در منطقه برون حاره، بارش از دامنه تا قله کوه افزایش می‌یابد [۴، ص ۲۴۱]. «در کوههای مرتفع‌تر حداکثر بارش پایین‌تر از قله کوه است و در کوههای پست (با ارتفاع کمتر از ۱۰۰۰ متر) بارش به دامنه بادپناه نیز گسترش می‌یابد» [۴، ص ۲۴۰].

بنابراین همواره با افزایش ارتفاع، بارش افزایش نمی‌یابد و بسته به وضعیت رطوبی و جهت‌گیری دامنه‌ها در برابر جریانات بارانزا، امکان رخ دادن وضعیتهای متفاوت وجود دارد. در این زمینه، علیجانی با مطالعه ضرایب همبستگی و نمرات استاندارد در رشته کوه البرز به این نتیجه رسید که در دامنه‌های بادگیر شمالی، با افزایش ارتفاع، بارش کاهش یافته و در دامنه‌های بادپناه جنوبی افزایش می‌یابد که دلیل کاهش بارش به ازای ارتفاع در دامنه‌های شمالی، دوری از منبع رطوبی و جلوگیری از ورود رطوبت دریای خزر به داخل ایران به وسیله سد کوهستانی البرز است [۵، ص ۱۲۴-۱۴۳]. او همچنین در مورد کاهش بارش به ازای ارتفاع در دامنه‌های بادگیر غربی از عقیده دارد که جهت‌گیری شمال‌غرب - جنوب‌شرق این رشته کوه در برابر جریانات مرتبط غربی باعث افزایش بارش در دامنه‌های غربی شده است [۱، ص ۲۱-۲۲]. در مقابل، فیض نوروزی عقیده دارد که خطوط همباران در هسته پیراران کوهزنگ از جهت خطوط تراز تعیین می‌کنند که نشان‌دهنده افزایش پاییز و زمستان، میزان بارندگی با افزایش ارتفاع به طور خطی کاهش می‌یابد.

سینگ و کومار^۱ با مطالعه رابطه بارش با ارتفاع در هیمالیای غربی به این نتیجه رسیده‌اند که در دامنه‌های رو به باد، بارندگی با افزایش ارتفاع افزایش می‌یابد [۷، ص ۱۸۳-۲۰۶]. شبیهای بارندگی ۱۰۶ میلیمتر در هر ۱۰۰ متر در دامنه‌های رو به باد و ۱۳ میلیمتر در هر ۱۰۰ متر در دامنه‌های پشت به باد بخش میانی هیمالیا ثبت شده است. به نظر می‌رسد که نزدیک بودن به اقیانوس هند، رطوبت بسیار بالای جریانات موسمی و در نتیجه ضخامت زیاد هوای مرطوب، مانع از کاهش بارش به ازای ارتفاع در دامنه‌های رو به باد هیمالیا می‌شود. مطالعات انجام شده به وسیله کونراد^۲ در منطقه کوهستانی بلوریج^۳ ایالات متحده [۹، ص ۷۵-۱۴۶۲]، [۸، ص ۴۹-۶۲]، هوتون^۴ در منطقه کوهستانی غرب ایالات متحده [۹، ص ۷۵-۱۴۶۲] و استورفروگومن^۵ در غرب کانادا نیز نشان‌دهنده افزایش بارندگی به ازای ارتفاع است [۱۰، ص ۲۴۱-۲۶۳].

محققان در زمینه عوامل مؤثر در براورده بارش و در نتیجه روش‌های تخمین بارش اختلاف نظر دارند. مسلماً عوامل متعددی در این زمینه می‌توانند مؤثر باشند. هوتون، ارتفاع ایستگاه، آزمیش مسیر بادهای باران‌آور و جهت‌گیری دامنه‌ها [۹، ص ۷۵-۱۱۶۲]؛ استور و فرگومن، ارتفاع، زاویه شبی دامنه، فاصله از قله کوه و جهت ناهمواری [۱۰، ص ۲۴۱-۲۶۳] و ویتمور^۶ طول و عرض جغرافیایی را در دریافت بارش مؤثر می‌دانند [۱۱، ۳۲۶، ص ۱۱؛ ص ۱۸۸-۲۰۰]. غیور و مسعودیان نیز معتقدند که برای توضیح تغییرات مکانی بارش در ایران، بهتر است در مدل‌های آماری به جای ارتفاع، از طول و عرض جغرافیایی استفاده شود [۱۲، ۴۱؛ ص ۱۲۴-۱۳۳]. بسیاری از محققان در مدل‌های رگرسیونی خود برای براورده بارش، تنها از عامل ارتفاع استفاده کرده‌اند. جداول ۱ و ۲ نتایج برخی از این مطالعات را نشان می‌دهد.

۲- موقعیت جغرافیایی و خصوصیات طبیعی منطقه مورد مطالعه در رابطه با موضوع

زاگرس یکپارچه‌ترین توید کوهستانی ایران محسوب می‌شود که با روند شمال‌غربی - جنوب‌شرقی از حوالی مریوان تا تنگه هرمز امتداد یافته است [۱۳، ص ۱۴۴]. در این تحقیق

1. Singh and Kumar
2. Konrad
3. Blue Ridge
4. Houghton
5. Storr and Ferguson
6. Whitmore



ادامه جدول ۱

افزایش خطی در دامنه‌های پشت به باد هیمالیای خارجی، کاهش نمایی در هیمالیای مرتفع و افزایش خطی در بارش برف به ازای ارتفاع	چند جمله‌ای درجه ۲ برای بارندگی سالیانه در دامنه‌های رو به باد هیمالیای بیرونی و دامنه‌های رو به باد و پشت به باد هیمالیای میانی	باران - برف	هیمالیای غربی (حوضه چناب)	سینگ ^۱ و دیگران، ۱۹۹۵	۱۰
تا ارتفاعات میانی حوضه افزایش و سپس کاهش می‌یابد و یا در بعضی سطوح ممکن است افزایش یابد	—	باران - برف	کلمبیای بریتانیا	لوکاس و کوئیک ^۲ ، ۱۹۹۶ و ۱۹۹۲	۱۱
حداکثر بارش اطراف ۲۵۰ متر در عرض ۶۹ شمالی و تا حدود ارتفاع ۱۵۰۰ متر در عرض ۷۶ شمالی کاهش می‌یابد	—	برف	گرینلند غربی	اوهمورا ^۳ ، ۱۹۹۱	۱۲

منطقه‌ای از حوالی مریوان در استان کردستان تا لار در استان فارس، شامل زاگرس شمال‌غربی و مرکزی، برای مطالعه انتخاب شد. این مناطق تقریباً نواحی واقع در بالای منحنی میزان ۶۰۰ متر را شامل می‌شود. موقعیت جغرافیایی و استانهای تحت پوشش در شکل ۱ آورده شده است.

از نظر توپوگرافی در این منطقه، کوهستانهای مرتفع به دشت‌های وسیع و حاصلخیز منتهی می‌شود و در مواردی این دشت‌ها را در برمی‌گیرد (شکل ۲). ارتفاع زیاد و جهت‌گیری عمومی کوهها - که در معرض وزش توده‌هواهای مرطوب غربی و مدیترانه‌ای قرار دارند - باعث ریزش برف و باران فراوان در آنها می‌شود. به این ترتیب این ارتفاعات سرچشمه رویدخانه‌ای مهمی چون کارون، دز و کرخه است که دشت‌های حاصلخیز مجاور را سیراب می‌سازند. «از جمله این دشت‌ها می‌توان به دشت‌های رزن، ارک و اصفهان در دامنه‌های شرقی زاگرس، ماهیدشت و اسلام آباد در دامنه‌های غربی زاگرس و دشت‌های میانکوهی بیجار، روانسر، الیگوردن، استهبان و فیروزآباد اشاره کرد [۱۴، صص ۳۱-۳۷]. اهمیت این دشت‌ها و

1. Singh

2. Loukas and Quick

3. Ohmura

جدول ۱ خلاصه‌ای از بعضی از مطالعات مهم دنیا در زمینه روابط بارش - ارتفاع [۲۰۶-۱۸۳، صص ۷، ۸]

ردیف	محقق، سال	منطقه مورد مطالعه	نوع بارش	روابط با ارتفاع یا گردابیان	سایر نتایج ویژه
۱	رومی ^۱ ، ۱۹۶۵	آندهای اکوادور	باران	—	دو ناحیه جداکثر باران: در امتداد دامنه غربی در ۱۰۰۰ متر در امتداد دامنه شرقی در ۱۴۰۰ متر
۲	گولدینگ ^۲ ، ۱۹۸۶	کوههای راکی	برف	۸۷ میلیمتر در هر ۱۰۰ متر می‌یابد	به طور خطی با ارتفاع افزایش
۳	هامون ^۳ ، ۱۹۷۱	جنوب‌غربی ایداهو	برف	—	بارش زمستانه در ۲۱۰۰ متر برابر بیش از ۱۲۰۰ متر است
۴	کین ^۴ ، ۱۹۷۵	کوههای سان‌ژوان نزدیک کلرادو	برف	۶۵ میلیمتر در ۱۰۰ متر پیدا می‌کند	به طور خطی با ارتفاع افزایش
۵	دار و راخچا ^۵ ، ۱۹۸۱	هیمالیای مرکزی	باران	چند جمله‌ای درجه ۴	حداکثر بارندگی در ارتفاع ۲۰۰۰ تا ۲۴۰۰ متر
۶	هیگوچی ^۶ و دیگران، ۱۹۸۲	هیمالیای نپال	باران	—	بارندگی در این رشته از ارتفاع ۲۸۰۰ تا ۴۵۰۰ متر کاهش می‌یابد
۷	ویتر ^۷ و دیگران، ۱۹۸۶	آلپها	برف	—	۸۰ میلیمتر در ۱۰۰ متر در دامنه جنوب‌شرقی، ۷۲ میلیمتر در ۱۰۰ متر در دامنه‌های شمالی
۸	نیمزینوویچ ^۸ ، ۱۹۸۹	کوههای سوئد (ناحیه جامنلند)	باران	۹/۵ میلیمتر در هر ۱۰۰ متر	بیشترین بارندگی در ارتفاعات بالا در دامنه پشت به باد مشاهده می‌شود
۹	باری ^۹ ، ۱۹۹۲	آلپها	بارش	—	بارش با ارتفاع افزایش می‌یابد (حداکثر تا ارتفاع ۳۰۰۰ تا ۳۵۰۰ متر)

1. Rumley

2. Golding

3. Hamon

4. Caine

5. Dhar and Rakhecha

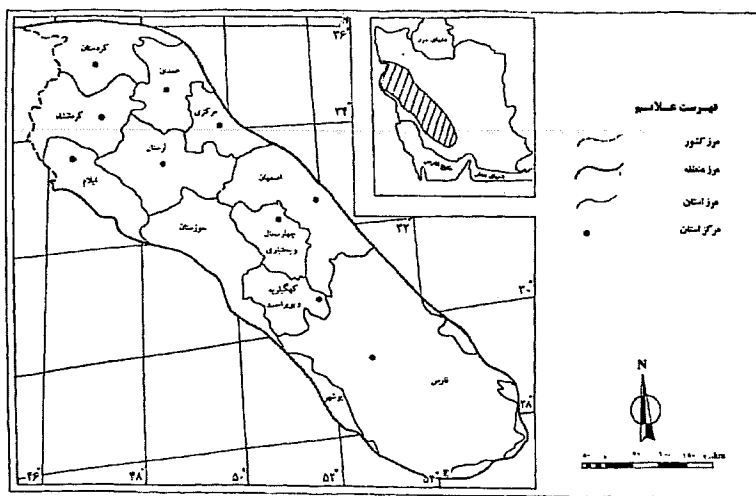
6. Polynomial

7. Higuchi

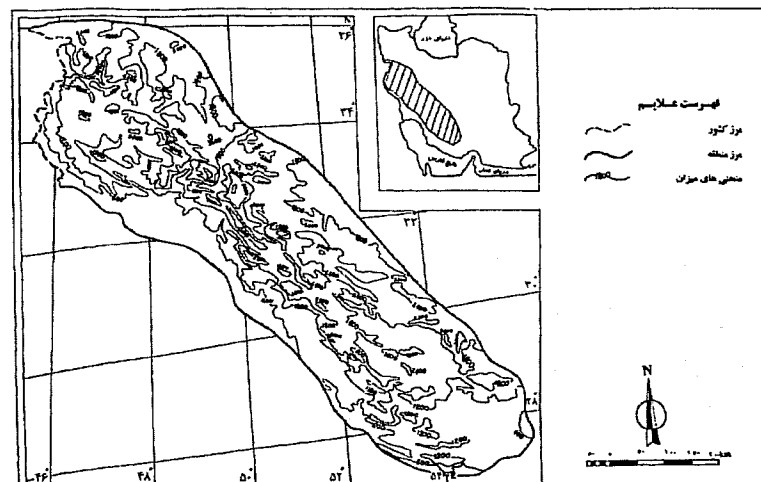
8. Witten

9. Niemeznowicz

10. Barry



شکل ۱ نقشه موقعیت منطقه مورد مطالعه درکشور و استانهای تحت پوشش



شکل ۲ نقشه توپوگرافی منطقه

جدول ۲ برخی از مطالعات انجام شده در زمینه رابطه بارش - ارتفاع در ایران [۱۴۲-۱۲۴، صص ۱۲۴-۱۲۶]

ردیف	محقق، سال	محل جغرافیایی	ضریب همبستگی	رابطه بارش - ارتفاع بارش (mm) P=(mm) ارتفاع H=(m)
۱	مهندسین مشاور هامونپاد ۱۳۷۴	ارتفاعات مرکزی کرمان	۰/۵۹	$P = ۵۷/۶ + ۰/۴۱ H \pm ۳۴$
۲	مهندسين مشاور هامونپاد، ۱۳۷۴	ارتفاعات شمال شرقی کرمان	۰/۸۶	$P = ۱/۷ + ۰/۰۶ H \pm ۲۲/۴$
۳	حبیبی، ۱۳۷۳	ارتفاعات آبریز زهره در کهکیلویه	۰/۹۷	$P = - ۸۵/۳۹ + ۱/۲۰۷ H$
۴	مسیبی، ۱۳۷۱	ارتفاعات آبریز کلپایگان	۰/۸۹	$P = - ۱۳۲/۳۸ + ۰/۲۰۲۸ H$
۵	نقل از نیکاندیش، ۱۳۷۱	ارتفاعات آبریز سولگان	۰/۸۳	$P = - ۵۶۸ + ۰/۳۷۶ H$
۶	نقل از نیکاندیش، ۱۳۷۰	شمال غرب کارون (منطقه چلگرد)	۰/۹۲	$P = - ۱۵۸۲/۸۴ + ۱/۰۲۹۵ H$
۷	نقل از نیکاندیش، ۱۳۷۰	شرق کارون (منطقه شهرکرد)	۰/۷۳	$P = - ۶۲/۲۶ + ۰/۱۱۲ H$
۸	نقل از نیکاندیش، ۱۳۷۰	ناواحی سطح کارون	۰/۸۲	$P = - ۸۱/۷ + ۲۳ \log H$
۹	باقری، ۱۳۷۴	کارون میانی (بین گدارلندر تا پل شالو)	۰/۵۳	$P = ۴۵۲/۶ + ۰/۴۴۲ H$
۱۰	صالحی، ۱۳۷۵	دامنهای غربی زاگرس (منطقه باغ ملک)	۰/۷۱	$P = ۴۸۰ + ۰/۱۲ H$
۱۱	موحد دانش، ۱۳۷۳	حوضه ارومیه	-	$P = ۱۰۰ + ۰/۱۸ H$

رودخانه‌های جاری در آنها در تأمین آب، برق و محصولات کشاورزی منطقه و کشور بر هیچ‌کس پوشیده نیست. «خاک مساعد و جریان آرام رودها، جمعیت زیاد و فعالیتهای انسانی متنوعی را در آنها متمرکز کرده است» [۱۵، ص ۱۲۴]

دامنهای شرقی این مجموعه کوهستانی با توجه به دور بودن از منابع رطوبی و بارندگی و قرار گرفتن در ناحیه بادپناه، از ریزش باران و برف کمتری نسبت به دامنهای غربی برخوردارند؛ در نتیجه تعداد رودخانه‌های آنها کم است و به استثنای زاینده‌رود، رودخانه‌های مهم دیگری از این دامنه‌ها سرچشمه نمی‌گیرند.

منطقه مورد مطالعه، بر اساس جهتگیری شمال‌غرب - جنوب‌شرق رشته زاگرس و مسیرهای سیکلونی ارائه شده به وسیله علیجانی، در امتداد خط‌الرأس عمومی، به دو ناحیه رو به باد و پشت به باد و سپس براساس سهم مکانیسم‌های صعود، تأثیرپذیری بخش‌های جنوبی منطقه از سیکلونهای سودانی و نیز ناگهانی و رگباری‌بودن بارشها به دو ناحیه شمالی و جنوبی تقسیم شد [۱، ص ۱۸۸]. به دلیل کمبود ایستگاه، از تفکیک منطقه به دامنه‌های متعدد رو به باد و پشت به باد صرف‌نظر گردید؛ لکن منطقه‌ای نسبتاً وسیع در اطراف شیراز، جدا از محدوده اصلی، در ناحیه پشت به باد واقع شد. سپس تعداد ۲۰۰ نقطه با پراکنش مناسب از نواحی و ارتفاعات مختلف منطقه، انتخاب (شکل ۴) و بارش آنها با استفاده از مدل‌های رگرسیونی دو متغیره و چند متغیره خطی، لگاریتمی، توانی و نمایی براورد گردید. مدل‌های مورد استفاده در جدول ۳ قید شده‌اند.

جدول ۳ مدل‌های رگرسیونی دو متغیره و چند متغیره برای براورد بارش در منطقه زاگرس

رگرسیون چند متغیره	رگرسیون دو متغیره	مدل‌ها
$Y = a + b_1 x_1 + b_2 x_2 + b_3 x_3$	$Y = a + bx$	مدل خطی
$Y = a + b_1 \ln x_1 + b_2 \ln x_2 + b_3 \ln x_3$	$Y = a + b \ln x$	مدل لگاریتمی
$Y = ax^{b_1} x_1^{b_2} x_2^{b_3}$	$Y = ax^b$	مدل توانی
$Y = ae^{b_1 x_1} e^{b_2 x_2} e^{b_3 x_3}$	$Y = ae^{bx}$	مدل نمایی

در مدل‌های دو متغیره، X متغیر مستقل یا ارتفاع، Y متغیر وابسته یا بارش، a عرض از مبدأ و b شیب خط است. با قرار دادن مقدار ارتفاع در مدل، بارش متناظر با آن برای هر نقطه استخراج شد. در مدل‌های چند متغیره، X_1 عرض جغرافیایی به عنوان یک عامل عمومی مؤثر در بارش، X_2 طول جغرافیایی به عنوان عامل مشخص‌کننده دوری یا نزدیکی به منابع رطوبی با توجه به مسیر عمومی غربی - شرقی سیکلونهای بارانزا و X_3 ارتفاع به عنوان یکی از عوامل مهم مؤثر در بارش، مجموعاً به عنوان متغیرهای مستقل و Y به عنوان متغیر وابسته یا بارش در نظر گرفته شدند. با جایگذاری مقادیر طول و عرض جغرافیایی و ارتفاع در مدل، مقدار بارش براورد شده برای هر نقطه، استخراج شد و تمام مراحل ورود، پردازش اطلاعات و مدل‌سازی‌های آماری با استفاده از نرم افزار SPSS انجام شد.

آب و هوای منطقه زاگرس، معتدل و مرطوب با بارندگی فصلی شدید می‌باشد [۱۶، صص ۲۲-۲۴]. تطبیق نقشه موقعیت منطقه (شکل ۱) با مسیرهای سیکلونی ایران و خاورمیانه که به وسیله علیجانی ارائه شده است [۱، صص ۳۵-۳۶]، نشان می‌دهد که جریانهای مرطوب و سیکلونها، بیشترین رطوبت خود را در دامنه‌های غربی زاگرس فرو می‌ریزند. این سیکلونها عمدها در دوره سرد سال، از سمت غرب با منشاً مدیترانه (سیکلونهای مدیترانه‌ای) و از سمت جنوب‌غرب بـ منشأ سودان (سیکلونهای سودانی)، منطقه را تحت تأثیر قرار می‌دهند.

سیکلونهای مدیترانه‌ای به دلیل عبور از اراضی شرق دریای مدیترانه، بیشتر رطوبت خود را از طریق مواجهه هوای سرد و گرم جبهه‌های سیکلونها قبل از رسیدن به ایران از دست می‌دهند اما سیکلونهای سودانی گرچه مسیر نسبتاً طولانی‌تری دارند، در سر راه از دریای سرخ و سپس خلیج فارس رطوبت را جذب می‌کنند و به علاوه گرمای بیشتر هوا باعث می‌شود تا ظرفیت رطوبی هوا بخصوص در لایه‌های زیرین افزایش یابد. بنابراین نزدیکی به منبع تغذیه رطوبی و گرمای هوا به عنوان دو خصیصه اصلی این سامانه‌های بارانزا، نقش مهمی در افزایش بارش نواحی جنوبی منطقه ایفا می‌کند. هوای مرطوب سامانه‌های بارانزا غربی و جنوب‌غربی پس از رسیدن به دامنه‌های غربی، به دلیل صعود دینامیکی، سرد و متراکم شده، بارش تولید می‌کند و به همین علت، مقدار بارش از پای دامنه‌ها به سمت ارتفاعات کاهش می‌یابد.

براساس مطالعات انجام شده، سهم اغتشاشات سطح بالا در بارش‌های قسمت جنوبی منطقه، ۵۷ درصد و سهم اغتشاشات سطح زمین ۳۰ درصد است. همچنین در قسمتهای شمالی منطقه، سهم اغتشاشات سطح بالا ۴۹ درصد و سطح زمین ۲۰ درصد است [۱، ص ۸].

۳- روش تحقیق

با توجه به توضیحات فوق، آمار بارش ماهانه و سالیانه ۳۰ ایستگاه کلیماتولوژی و سینتوفیک منطقه، در یک دوره مشترک ۲۰ ساله (۱۹۷۶-۱۹۹۵) از سالنامه‌های سازمان هواشناسی کشور استخراج و سپس بر مبنای آن، نقشه‌های همباران فصول بهار، پاییز و زمستان و نقشه همباران سالیانه رسم گردید. برای رفع نواقص آماری، از روش نسبتی [۱۷، صص ۴۶۱-۴۶۵] و اطمینان از کفایت و قابل اطمینان بودن داده‌ها بترتیب از رابطه موكوس^۱ [۱۷، صص ۷۱-۷۶] و آزمون توالی^۲ [۲، صص ۲۰۳-۲۰۴] استفاده شد.

1. Mackus
2. Tun Test

۴- نتیجه‌گیری

ضرایب همبستگی بین بارش و ارتفاع، تنها برای دوره‌های زمانی و موارد ذکر شده در جدول ۴ معنادار بود و در هیچ ناحیه‌بندی و هیچ دوره زمانی دیگر، رابطه معناداری بین بارش و ارتفاع مشاهده نشده است. بالاترین ضرایب همبستگی جدول فوق -0.62 است که برابر با ضرایب تعیین (I) 0.28 می‌باشد؛ به این معنی که مدل مربوطه تنها 28 درصد تغییرات بارش را به ازای ارتفاع توجیه می‌کند. بنابراین با توجه به عدم امکان برآورده بارش و رسم نقشه‌های فصلی و سالیانه برای کل منطقه با استفاده از این مدلها، استفاده از مدل‌های دیگر ارجح بود.

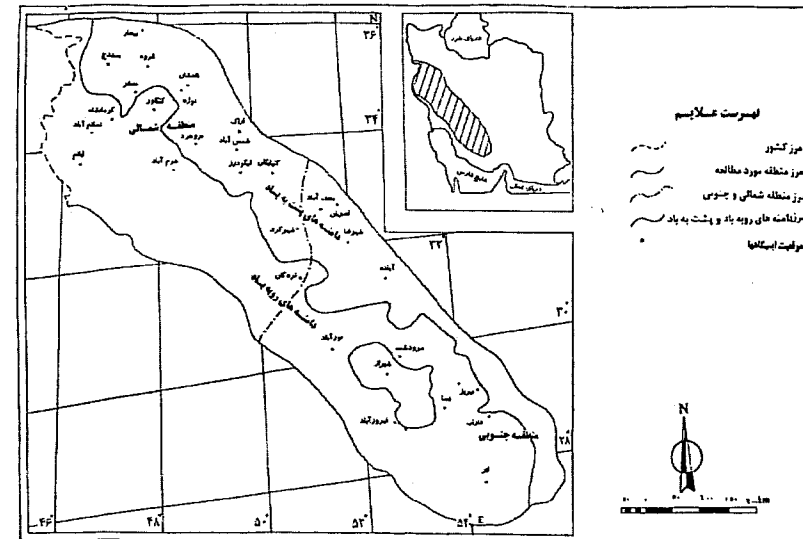
جدول ۴ ضرایب همبستگی معنادار بارش - ارتفاع برای نواحی مختلف زاگرس در دوره زمانی مورد نظر همراه با معادلات رگرسیون مربوطه

نوع مدل	مدل رگرسیونی دو متغیره برآورده بارش	ضریب همبستگی	دوره زمانی	تعداد ایستگاه	نام ناحیه یا منطقه
خطی	$P=22.0/197.0-0.89h$	-0.84^{**}	زمستان	۳۰	کل منطقه زاگرس
لگاریتمی	$P=22.9-252\log h$	-0.92^{**}	سال	۱۸	ناحیه شمالی
خطی	$P=274/91-0.17h$	-0.94^{**}	زمستان	۱۸	ناحیه شمالی
لگاریتمی	$P=115.0/7-125/\log h$	-0.82^{**}	پاییز	۱۸	ناحیه شمالی
لگاریتمی	$P=575/24-0.205\log h$	-0.99^{**}	سال	۱۲	ناحیه جنوبی
لگاریتمی	$P=153.0/8-189/\log h$	-0.80^{**}	زمستان	۱۲	ناحیه جنوبی

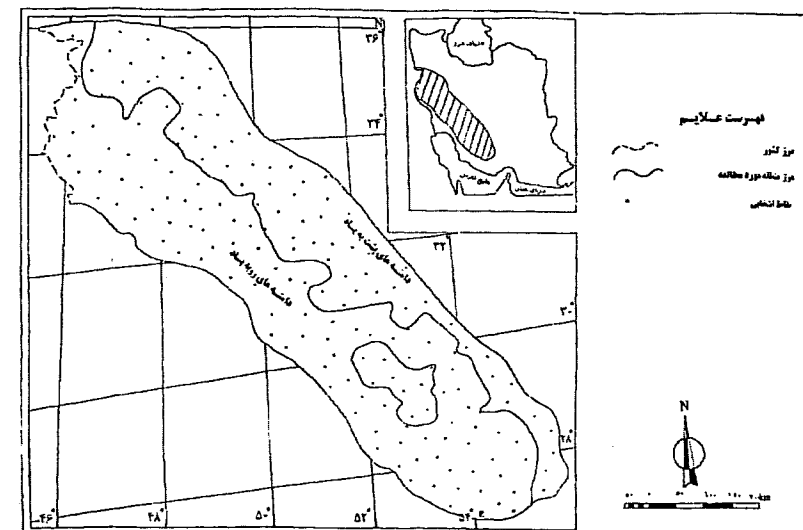
* معنادار در سطح 0.05 (آزمون دو طرفه) p = بارش برآورده شده بر حسب میلیمتر

** معنادار در سطح 0.01 (آزمون دو طرفه) h = ارتفاع از سطح

در مدل‌های رگرسیون چند متغیره - همانطور که در بخش روش تحقیق نیز عنوان شد - علاوه بر عامل ارتفاع، اثر دو عامل دیگر، طول و عرض جغرافیایی نیز مذکور شد. از بین مدل‌های چند متغیره خطی، لگاریتمی، توانی و نمایی، مدل خطی به دلیل دارا بودن مقادیر اشتباہ استاندارد کمتر، ضرایب تعیین بالاتر و عدم مشاهده اختلاف معنادار بین ارقام مشاهداتی و برآورده شده، به عنوان مناسب ترین مدل برای برآورده بارش انتخاب گردید. بر این مبنای، معادلات رگرسیون خطی چند متغیره برای نواحی و دوره‌های زمانی مختلف استخراج شد (جدول ۵) و با استفاده از آنها مقادیر بارش برای ایستگاهها برآورده گردید.



شکل ۳ تفکیک منطقه به نواحی بارش و موقعیت ایستگاهها در آن



شکل ۴ موقعیت نقاط انتخابی در سطح منطقه برای برآورده بارش و رسم نقشه‌های همبازان



جدول ۶ نتایج آزمون T همراه با مقایسه میانگین و انحراف معیار بارشهای براورده شده و مشاهداتی ایستگاهها در نواحی رو به باد و پشت به باد بین سالهای ۱۹۷۶-۱۹۹۵ (بر حسب میلیمتر)

آماره t	نتایج آزمون T		انحراف معیار بارشهای براورده شده	انحراف معیار بارشهای مشاهده شده	میانگین بارشهای براورده شده	میانگین بارشهای مشاهده شده	دوره زمانی	تعداد ایستگاهها	تیکت
	$T_a/2$	$a = 0.01$							
-0.066	2/797	92/5	131	422/1	419/2	سال			۰۰۰
0.016	2/797	77/6	86/3	156/4	156/9	زمستان			۰۰۰
-0.3	2/797	22/7	50/9	148/7	143/2	پاییز			۰۰۰
0.069	2/797	29/5	22/2	49/6	50/7	بهار			۰۰۰
0.224	2/740	110/6	132/7	325/8	329/9	سال			۰۰۰
0.212	2/740	53/1	62/2	140/3	146/4	زمستان			۰۰۰
0.061	2/740	28/3	47/9	101/4	107	پاییز			۰۰۰
0.03	2/740	24/1	40/4	68/3	71/9	بهار			۰۰۰

با اتكا به معادلات این تحقیق (جدول ۵) و نقشه‌های براورده بارش (شکلهای ۹ الی ۱۲) بنظر می‌رسد که در ناحیه رو به باد طی سال و فصول مورد بررسی، بارش با افزایش ارتفاع، کاهش و در ناحیه پشت به باد افزایش می‌یابد. این مسئله می‌تواند حاکی از تخلیه رطوبت جریانات بارانزا در قسمتهای غربی منطقه و کاهش آن به طرف ارتفاعات باشد. در تمام دوره‌های زمانی، به استثنای یک مورد، افزایش طول جغرافیایی باعث کاهش بارش شده است که می‌تواند گویای نقش دوری و نزدیکی به منابع رطوبی در دریافت بارش باشد. همچنین به نظر می‌رسد حرکت به عرضهای جغرافیایی بالاتر بجز در فصل بهار موجب کاهش بارش می‌شود که احتمالاً شانگر تأثیر دوری از مسیر سیکلونها و دمای پایین ترده هوایی عرضهای بالاتر در کاهش بارندگی است. در این مورد انجام مطالعات بیشتر ضرورت دارد. هسته‌های حداقل بارش، هم در طول سال و هم در فصول، بر ارتفاعات مهم منطبقند.

سپس از طریق آزمون T^* ، بارشهای براورده شده و مشاهداتی ایستگاهها با هم مقایسه شدند. نتایج آزمون نشان داد که ارقام براورده شده و مشاهداتی، در سطح ۰/۰۱، اختلاف معناداری با همیگر ندارند (جدول ۶). بر اساس معادلات جدول ۵، مقادیر بارش برای ۲۰۰ نقطه انتخابی در سطح منطقه در دوره‌های زمانی مختلف، براورده و نقشه‌های سالیانه و فصلی مربوطه رسم گردید (شکلهای ۹ الی ۱۲).

جدول ۵ معادلات رگرسیون خطی چند متغیره برای براورده بارش در نواحی رو به باد و پشت به باد منطقه

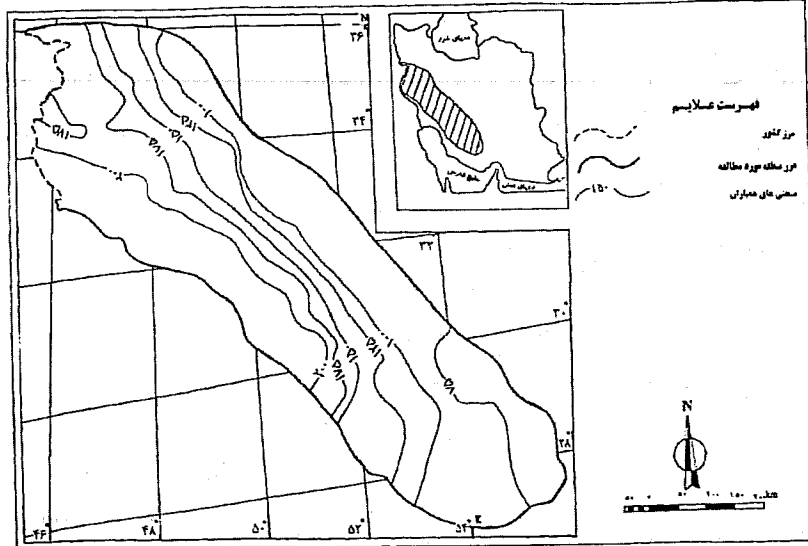
نام ناحیه	دوره زمانی	مدل رگرسیون خطی چند متغیره	اشتباه استاندارد مدل	ضریب تعیین (r^2)
سال	۰۰۰	$P = ۳۲۶۰/۹۹-۰/lat-۴۴/۰/lon-۰/۰۵el$	۵۲/۳	-0/54
زمستان	۰۰۰	$P = ۳۰۸/۶۳-۴۴/۸/lon-۴۴/۴/lat-0/۰۲el$	۳۸	-0/64
پاییز	۰۰۰	$P = ۱۴۲۵/۹۸-۸/۵/lat-۱۹/۶/lon-۰/۰۶el$	۳۲	-0/69
بهار	۰۰۰	$P = -۷۱۷/۶۶+۱۷/۵/lat+۴/۵/lon-۰/۰۷el$	۱۲/۷	-0/89
سال	۰۰۰	$P = ۱۲۶۸/۲-۱۴۲/lat-۱۵۷/۱/lat+۰/۱۴el$	۳۵/۵	-0/94
زمستان	۰۰۰	$P = ۶۲۸/۱۴-۷۲/۴/lat-۷۷/۴/lon+۰/۰۲el$	۲۶/۱	-0/86
پاییز	۰۰۰	$P = ۴۵۴۲/۶۴-۵۱/۵/lat-۵۵/۸/lon+۰/۰۲el$	۲۱/۳	-0/82
بهار	۰۰۰	$P = ۲۳۲۶/۴۱-۲۲/۷/lat-۳۰/۴/lon+۰/۰۲el$	۱۶/۹	-0/85

lat : عرض جغرافیایی lon : طول جغرافیایی el : ارتفاع از سطح دریا بر حسب متر

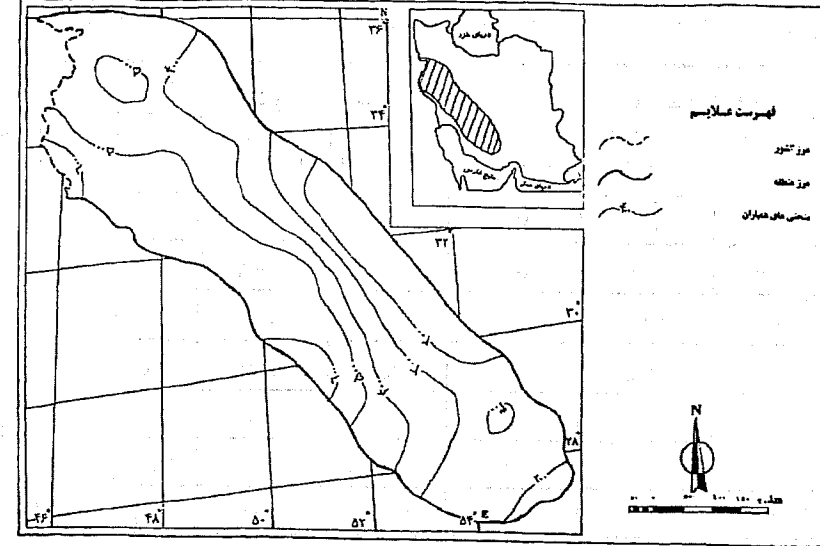
مقایسه نقشه‌های بارش مشاهداتی (شکلهای ۵ الی ۸) و براورده شده (شکلهای ۹ الی ۱۲)، نشاندهنده تطابق نسبتاً خوب بین آنهاست که خود می‌تواند تأییدی بر اعتبار مدل‌های به کار گرفته شده باشد. اختلافات مشاهده شده بین نقشه‌های بارش مشاهداتی و براورده شده، به دلیل استفاده از ۲۰۰ نقطه برای رسم نقشه‌های براورده و ۳۰ ایستگاه (برای رسم نقشه‌های مشاهداتی) است.

1. T-Test

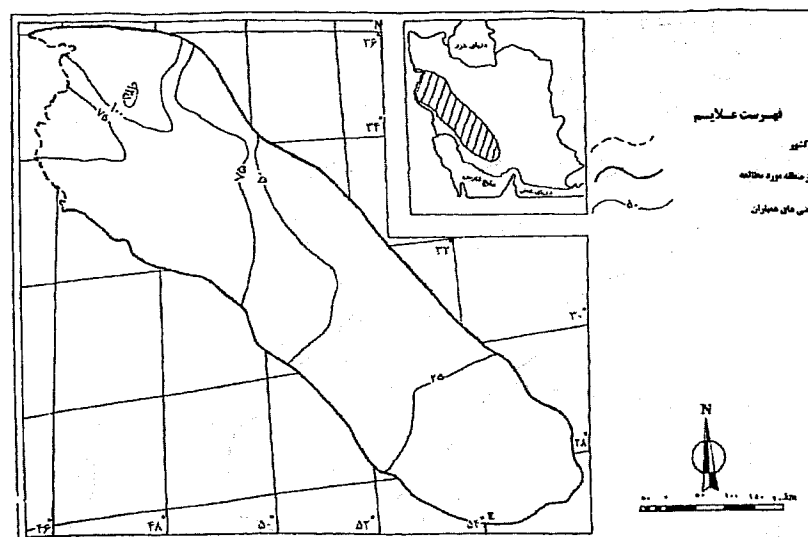
- به عنوان مثال معنای معادله ردیف آخر این است که در ناحیه پشت به باد در فصل بهار، با فرض ثابت بودن طول و عرض جغرافیایی، هر متر افزایش ارتفاع، بارش را $0.02 \text{ میلیمتر افزایش می‌دهد}$ ($2 \text{ میلیمتر افزایش برای } 100 \text{ متر}$).



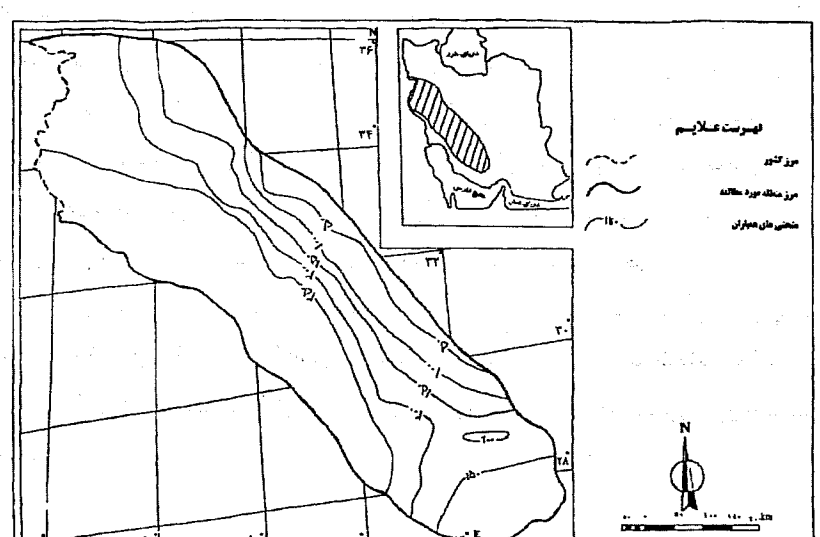
شکل ۷ نقشه همباران میانگین ۲۰ ساله فصل پاییز منطقه



شکل ۵ نقشه همباران میانگین ۲۰ ساله منطقه زاگرس



نقشه ۸ نقشه همباران میانگین ۲۰ ساله فصل بهار منطقه



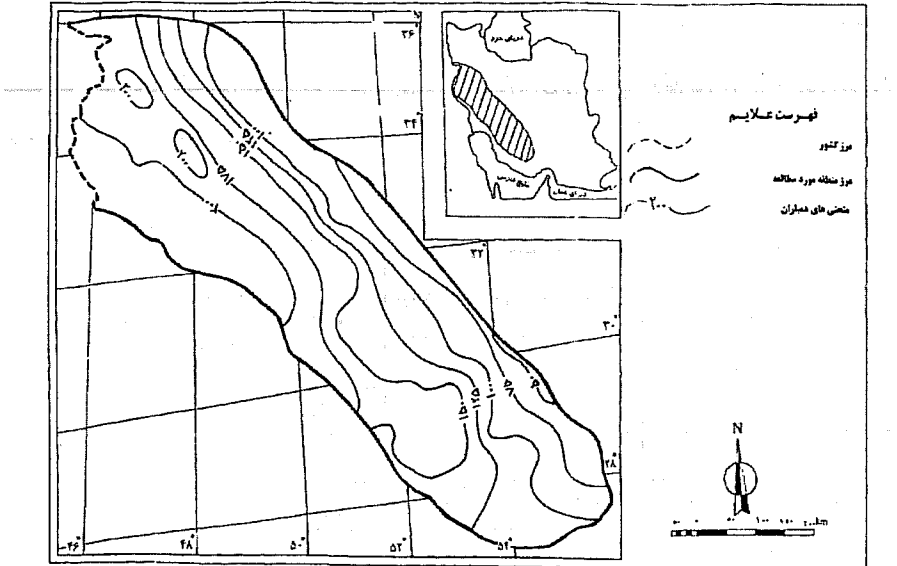
نقشه ۶ نقشه همباران میانگین ۲۰ ساله فصل زمستان منطقه



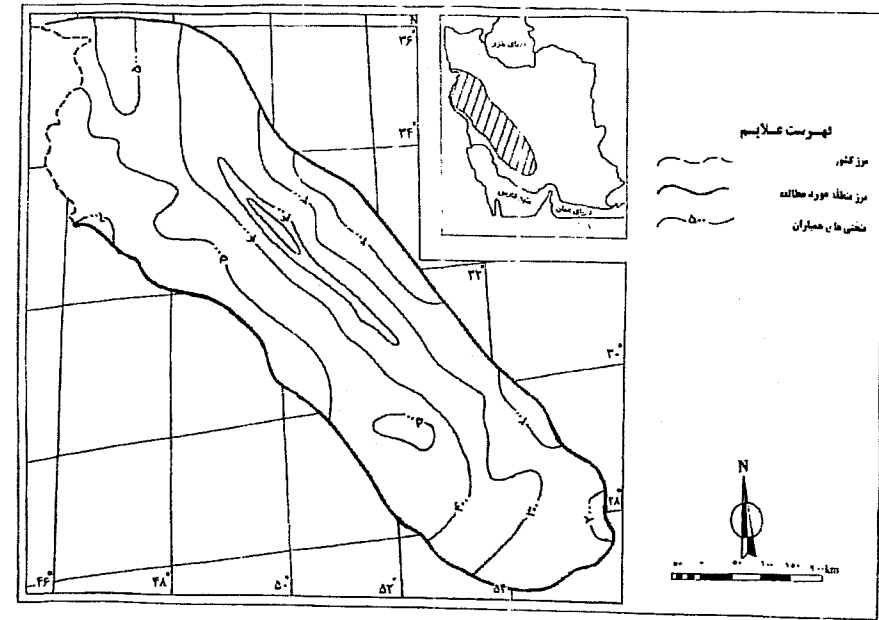
دورة ۷، شماره ۲، تابستان ۱۳۸۲



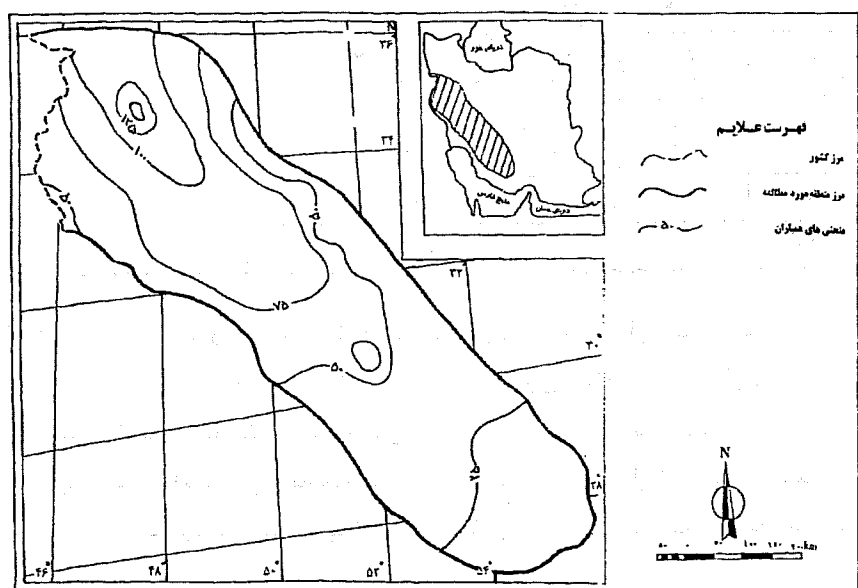
مدل‌سازی رابطه بارش با ارتفاع در منطقه زاگرس



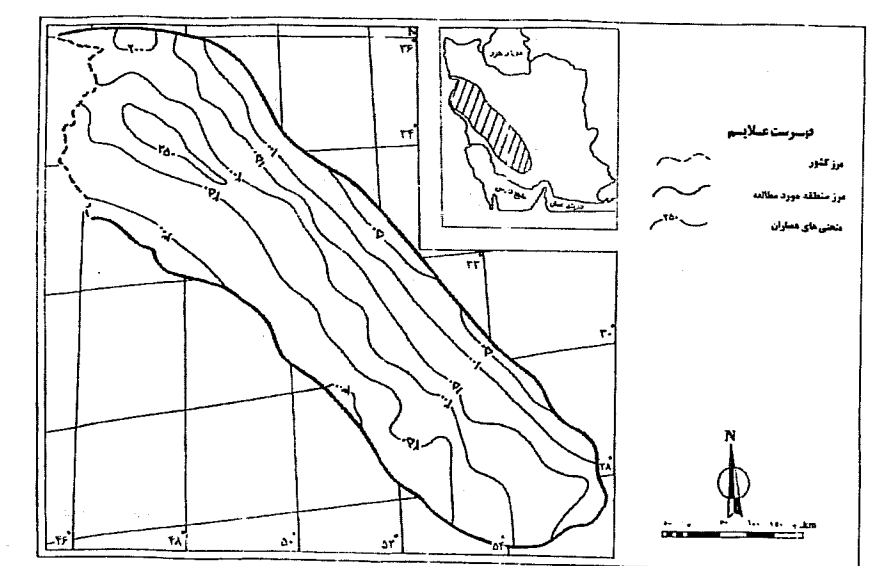
شکل ۱۱ نقشه همباران برآورد شده فصل پاییز برای منطقه



شکل ۹ نقشه همباران برآورد شده سالیانه برای منطقه



نقشه ۱۲ نقشه همباران برآورد شده فصل بهار برای منطقه



نقشه ۱۰ نقشه همباران برآورد شده فصل زمستان برای منطقه



۵- منابع

- [۱] علیجانی، بهلول؛ آب و هوای ایران؛ ج دوم، تهران: انتشارات دانشگاه پیام نور، ۱۳۷۵.
- [۲] جعفرپور، ابراهیم؛ اقلیم شناسی؛ ج اول، تهران: انتشارات دانشگاه تهران، ۱۳۶۷.
- [۳] مهدوی، محمد؛ هیدرولوژی کاربردی؛ ج اول، تهران: انتشارات دانشگاه تهران، ۱۳۷۱.
- [۴] علیجانی، بهلول و محمدرضا کاویانی؛ مبانی آب و هواشناسی؛ ج اول، تهران: انتشارات سمت، ۱۳۷۱.
- [۵] : «نقش کوههای البرز در توزیع ارتفاعی بارش»؛ فصلنامه تحقیقات جغرافیایی، ۱۳۷۴، ۳۸.
- [۶] فیض نوروزی، زهراء؛ «بررسی تغییرات بارندگی با ارتفاع در منطقه زاگرس»؛ پایان‌نامه کارشناسی، دانشکده کشاورزی دانشگاه تهران، ۱۳۵۲.
- [۷] Singh, P. and N. Kummar N.; "Effect of Orographic Precipitation in the Western Himalayan region", *J. Hydrol.*, 199, 1997.
- [۸] Konrad, II, C.E.; "Relationship between Precipitation Event Types and Topography in the Southern Blue Ridge Mountains of the Southeastern U.S.A"., *Int. J. Clim.*, 8, 1996.
- [۹] Houghton, J.G.; "A Model for Orographic Precipitation in the North-Central Great Basin", *Mon. Wea. Rev.*, 107, 1979.
- [۱۰] Storr, D. and H.L. Ferguson; The Distribution of Precipitation in Some Mountainous Canadian Watersheds: Proc. WMO Symp. On Distribution of Precipitation in Mountainous Areas, vol.11, Geilo, Norway, 1972.
- [۱۱] Withmore, J. S.; The Variation of Mean Annual Rainfall with Altitude and Locality in South Africa, as Determined by Multiple Curvilinear Regression Analysis: Distribution of Precipitation in Mountainous Area I., *WMO Publ.*, 326, 1972.
- [۱۲] غیور، حسنعلی و سیدابوالفضل مسعودیان، «بررسی مکانی رابطه بارندگی با ارتفاع در ایران زمین»؛ فصلنامه تحقیقات جغرافیایی، ۴۱، ۱۳۷۵.
- [۱۳] عالی طالقانی، محمود؛ ژئومورفوژوژی ایران؛ ج اول، تهران: نشر قومس، ۱۳۸۱.
- [۱۴] : «کلیات ژئومورفوژوژی ایران»؛ جزوء درسی دوره کارشناسی ارشد، گروه جغرافیای دانشگاه رازی، کرمانشاه: صص ۳۷-۳۱، ۱۳۷۷.

میانگین توازنی ارتفاع بارش و حجم آب سالیانه و فصلی ناشی از بارش، محاسبه و در جدول ۷ قید شده است. استفاده از ارقام جدول، همچنین جدولها و نقشه‌های دیگر البته در تلفیق با مطالعات تکمیلی می‌تواند علاوه بر کمک به تحلیل وضعیت اقلیمی منطقه، در طرحها و برنامه‌ریزی‌های مربوط به برآورد و تخصیص آب، مورد استفاده قرار گیرد.

جدول ۷ ارتفاع و حجم بارش سالیانه و فصلی برآورد شده و مشاهداتی (۱۹۷۶-۱۹۹۵) برای منطقه

نام ناحیه یا منطقه	مساحت (کیلومتر مربع)	دوره زمانی	میانگین توازنی بارش (میلیمتر)	حجم بارش (میلیارد متر مکعب)	مشاهداتی	برآورد شده	مشاهداتی	برآورد شده	مشاهداتی	برآورد شده
تهران	۱۹۶...	سال	۴۲۵	۴۵۵/۸	۸۹/۳۴	۸۷/۲۲	۴۴/۰/۸	۲۲۲/۲	۲۲۲/۹	۴۵/۵۱
		زمستان	۱۵۶/۱	۱۶۱/۱	۳۱/۵۸	۳۰/۶	۱۰/۶۰	۵۹/۴	۵۴/۱	۱۱/۶۴
		پاییز	۲۱۵/۷	۲۶۱/۲	۵۰/۵۸	۴۴/۲	۱۵۷/۲	۱۴۶/۳	۱۴۶/۰/۱	۲۲/۰/۱
		بهار	۱۱۱/۴	۱۲۶/۴	۱۷/۷۰	۱۵/۶	۶۸/۲	۵۵	۱۳۹/۹۲	۱۳۱/۴۲
		سال	۳۹۱/۱	۴۱۶/۴	۶۷/۵۲	۶۴/۵۶	۲۰/۱	۱۹۲/۱	۱۹۲/۰/۱	۴۹/۲۸
		زمستان	۱۳۷/۵	۱۴۶/۲	۲۱/۲۰	۱۸/۳	۶۳/۱	۵۴/۵	۲۱۶/۰/۱	۱۸/۰/۰
کل منطقه	۱۳۶...	پاییز	۱۱۱/۴	۱۲۶/۴	۹/۵۶	۷/۷	۱۵۷/۲	۱۴۶/۳	۱۴۶/۰/۱	۶۷/۵۲
		بهار	۱۳۷/۵	۱۴۶/۲	۱۳۹/۹۲	۱۳۱/۴۲	۴۱۶/۴	۳۹۱/۱	۳۹۱/۰/۱	۱۳۹/۹۲
		سال	۱۹۲/۱	۲۰/۱	۶۷/۵۲	۶۴/۵۶	۲۰/۱	۱۹۲/۱	۱۹۲/۰/۱	۶۷/۵۲
		زمستان	۱۴۶/۳	۱۴۶/۲	۴۹/۲۸	۴۶/۲	۱۴۶/۲	۱۳۷/۵	۱۳۷/۰/۱	۴۹/۲۸
		پاییز	۱۳۷/۵	۱۴۶/۲	۲۱/۲۰	۱۸/۳	۶۳/۱	۵۴/۵	۵۴/۰/۱	۲۱/۰/۰

ذکر این نکته ضروری است که در فرایند مورد بررسی در این تحقیق علاوه بر عوامل بررسی شده، عوامل دیگری از جمله جهت و مورفولوژی دامنه‌ها دخالت دارند؛ لکن به دلیل تنوع توپوگرافیک رشته کوه زاگرس، وجود ارتفاعات با خصوصیات شبیه متفاوت و نیز کمبود ایستگاه هواشناسی و بارانسنجی، امکان تشخیص و اعمال تمام جهات شبیه و تمام عوامل مقدور نگردید. بنابراین شایسته است محققان محترم در آینده در مدل‌سازی‌های خود، حتی المقدور از تمام عوامل مؤثر در بارش استفاده نمایند.





مدرس

علوم انسانی

مجله علمی پژوهشی دانشکده علوم انسانی

علاله‌مندان دریافت مجله مدرس علوم انسانی می‌توانند با تکمیل و ارسال برگه پیوست (با تصویر آن)، به جمع مشترکان مجله بپیوندند. شایان ذکر است مجله مدرس علوم انسانی در سه موضوع حقوق، مدیریت، جغرافیا، به صورت ۶ شماره در سال منتشر خواهد شد.

راهنمای اشتراک

- حق اشتراک سالیانه سازمانها و مؤسسات (با احتساب هزینه ارسال) ۱۴۲۰۰ ریال؛
- حق اشتراک سالیانه دانشجویان (با ارسال تصویر کارت دانشجویی) ۷۲۰۰۰ ریال؛
- لطفاً وجه مورد نظر را به حساب جاری شماره ۱۴۳۱۸۰۲۵۵، بانک تجارت ایران شعبه گیشا (تهران) به نام تمرکز درآمدهای دانشگاه تربیت مدرس - فصلنامه علوم انسانی مدرس (قابل پرداخت در تمام شعبه‌های بانک تجارت ایران) واریز و اصل رسید بانکی را به انضمام برگه تکمیل شده اشتراک به نشانی ذیل ارسال فرمایید:
- تهران - تقاطع بزرگراه‌های شهید چمران و آل احمد - دانشگاه تربیت مدرس، دفتر نشر آثار علمی دانشگاه واحد فروش کتاب - صندوق پستی ۱۳۱۱۵-۱۱۱

تلفن (۰۳۰۹۶) ۸۰۱۱۰۰۱-۸۰۲۸۲۳۶ - دورنگار ۸۰۲۸۲۳۶

.....	نام نام خانوادگی
.....	میزان تحصیلات رشته و گرایش
.....	شغل نام مؤسسه
.....	اشتراک از شماره تا تعداد مورد نیاز از هر شماره نسخه
.....	نشانی کدپستی
.....	صندوق پستی شماره تلفن
.....	تاریخ و امضا

- [۱۵] محمودی، فرج الله؛ جغرافیای عمومی؛ تهران: انتشارات وزارت آموزش و پرورش، ۱۳۷۰.
- [۱۶] ابرلندر، شودور؛ رودخانه‌های زاگرس؛ ترجمه مصصومه رجبی و احمد عباس‌نژاد؛ انتشارات دانشگاه تبریز، ۱۳۷۹.
- [۱۷] علیزاده، امین؛ اصول هیدرولوژی کاربردی؛ چ دوم، مشهد: انتشارات آستان قدس، ۱۳۶۸.